

Introduction aux algorithmes de recherche

(cas de la traduction probabiliste)

But: introduction à la recherche de solutions dans un espace trop grand pour que l'on puisse le parcourir complètement.

Trois approches classiques sont illustrées dans le cadre de la traduction automatique:

- Recherche par programmation dynamique avec filtrage (*beam search*)
- Recherche gloutonne (par hill-climbing)
- Recherche A^*

Rappelez-vous du canal bruité

Problème: on cherche la traduction \hat{e} d'une phrase source f :

$$\begin{aligned}\hat{e} &= \operatorname{argmax}_{e \in \mathcal{E}} p(e|f) \\ &= \operatorname{argmax}_{e \in \mathcal{E}} \frac{p(f|e) \times p(e)}{p(f)} \\ &= \operatorname{argmax}_{e \in \mathcal{E}} \underbrace{p(f|e)}_{\text{traduction}} \times \underbrace{p(e)}_{\text{langue (cible)}}\end{aligned}$$

Préambule: Cette maximisation est une opération NP-complète (si on ne présuppose pas d'ordre à priori sur les mots) Knight [1999]

→ **Problème:** comment trouver \hat{e} sans énumérer toutes les phrases cibles e possibles ?

Décodage: l'espoir fait vivre

- **Tentative:** On peut associer à chaque mot source d'une phrase de n mots un ensemble de m mots probables. Et on construit toutes les phrases possibles avec ces mots ($\Rightarrow m^n$ "phrases" candidates) que l'on soumet au modèle probabiliste.
↪ Si $n = 10$ et $m = 3$, ça fait déjà 59 049 phrases à noter. . .
- Pire, une traduction ne se fait pas mot à mot, et l'ordre des mots dans la traduction peut ne pas suivre celui des mots sources.
↪ Il faut autoriser des permutations de ces phrases ($\Rightarrow (m^n)!$).

Bref, ça ne marchera pas...

Décodage = maximisation

- Cas d'un modèle de langue bigramme et d'un modèle de traduction de type IBM2, pour la traduction d'une phrase source f_1^J :

$$\hat{e}_1^I = \operatorname{argmax}_I \underbrace{p(J|I)}_{\text{longueur}} \operatorname{argmax}_{e_1^I} \underbrace{\prod_{i=1}^I p(e_i|e_{i-1})}_{p(e_1^I)} \underbrace{\sum_{a_1^J} \prod_{j=1}^J p(a_j|j, J, I) p(f_j|e_{a_j})}_{p(f_1^J|e_1^I)}$$

- Le processus correspond au choix d'une longueur cible optimale \hat{I} , puis d'une série de choix d'alignements a_j et de choix lexicaux e_{a_j} .

Notez les dépendances dans cette équation, et le modèle de traduction inversé.

Décodage à la Tillmann et al. [1997]

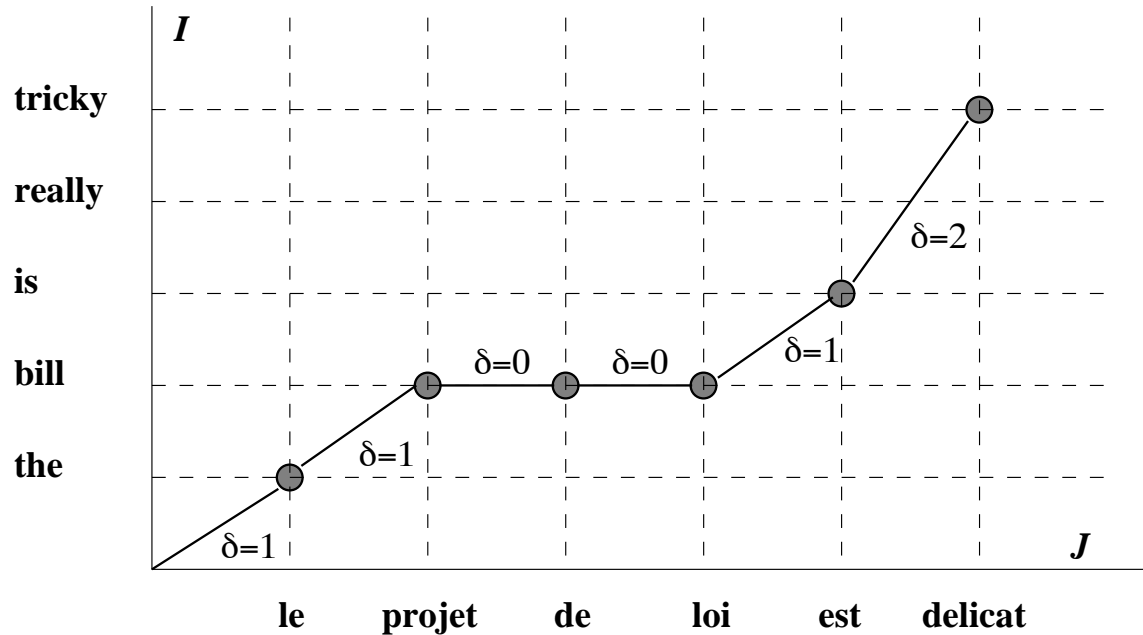
- **Choix:** le modèle d'alignement est un modèle markovien d'ordre 1¹; les alignements produits sont **monotones**.
- Plus précisément, ils imposent que $a_j = a_{j-1} + \delta$, avec $\delta \in \{0, 1, 2\}$. Ceci est une approximation, mais des opérations de prétraitement sont possibles pour en minimiser l'impact.
- Le critère que l'on cherche à maximiser est:

$$\hat{e}_1^I = \operatorname{argmax}_{I, e_1^I} \left\{ \prod_{i=1}^I p(e_i | e_{i-1}) \max_{a_1^J} \prod_{j=1}^J [p(a_j | a_{j-1}) p(f_j | e_{a_j})] \right\}$$

- **Notez** que la somme sur tous les alignements a été remplacée par une maximisation. On parle souvent de *maximum approximation*.

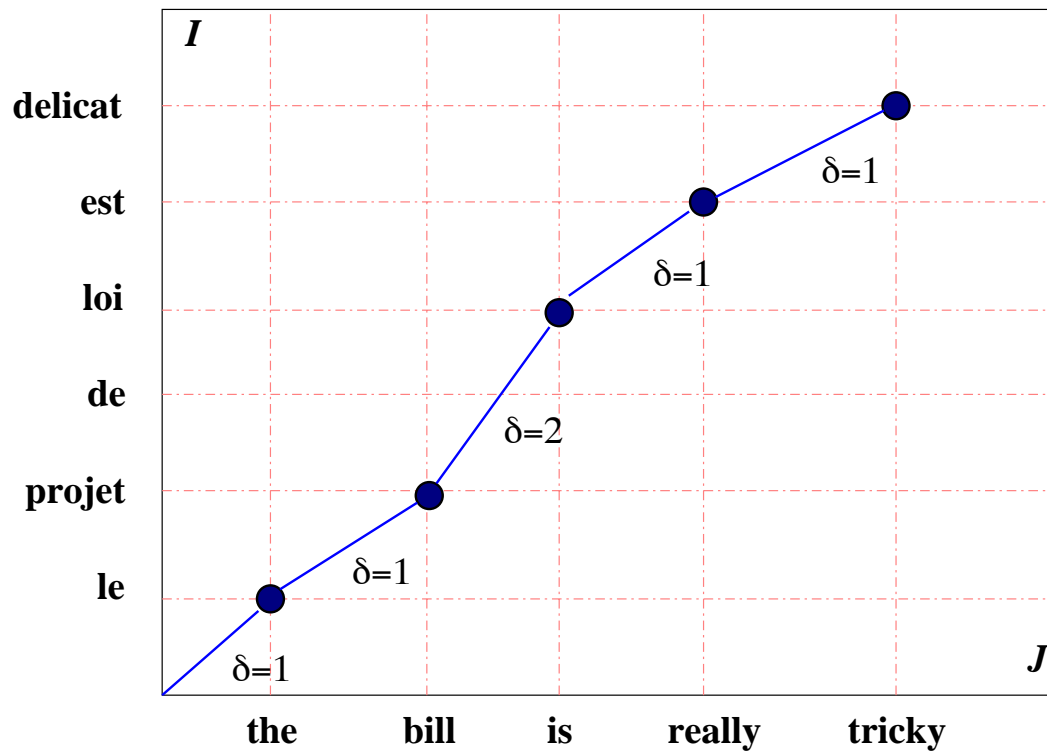
¹Rappelez-vous que le modèle d'alignement de IBM2 est un modèle markovien d'ordre 0).

Exemple d'alignement monotone



Alignment sous-jacent: $a = \{1, 2, 2, 2, 3, 5\}$, cad:
 (the, le) $(bill, projet\ de\ loi)$ (is, est) $(really, \epsilon)$ $(tricky, \text{d\u00e9licat})$

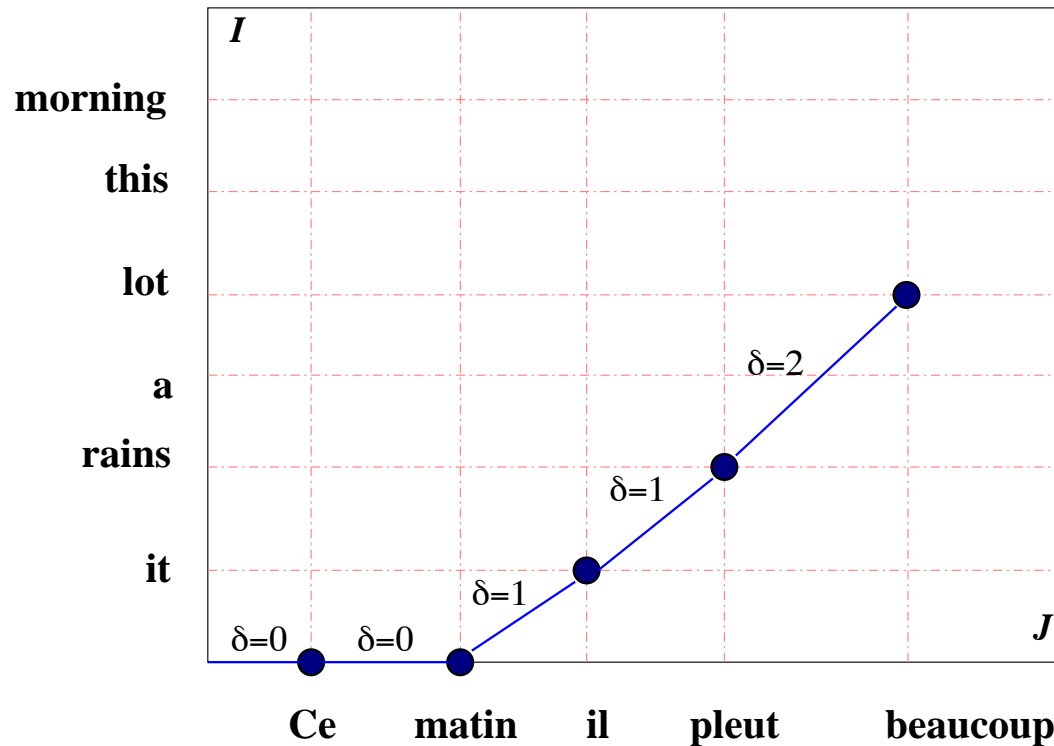
Changeons la direction (traduction vers le français)



Alignment sous-jacent: $a = \{1, 2, 4, 5, 6\}$, cad:

(le, the) $(projet, bill)$ (de, ϵ) (loi, is) $(est, really)$ $(delicat, tricky)$

Et si les deux phrases n'étaient pas synchronisées...



Alignment sous-jacent: $a = \{0, 0, 1, 2, 4\}$, cad:
 $(\epsilon, ce), (\epsilon, matin), (it, il), (rains, pleut), (a, \epsilon), (lot, \epsilon)$

Décodage Tillmann et al. [1997]

- Synchronisation monotone \Rightarrow décodage très rapide. **Mais:** nécessite des prétraitements:

Il parle depuis la maison blanche
Il parle depuis la blanche maison
He speaks from the white house

phrase initiale
pré-traitement
traduction

- Reformulons notre modèle de langue de manière à exprimer $\prod_{i=1}^I p(e_i|e_{i-1})$ comme un produit $\prod_{j=1}^J p_\delta(e_{a_j}|e_{a_{j-1}})$ où $\delta = a_j - a_{j-1}$

Décodage Tillmann et al. [1997]

$\delta = 1$, (cas le plus "normal"), $a_j = a_{j-1} + 1$:

alors $p_{\delta=1}(e|e') = p_{\delta}(e_{a_j}|e_{a_{j-1}}) = p(e|e')$

$\delta = 2$ (un mot cible sans mot source associé), $a_j = a_{j-1} + 2$:

alors $p_{\delta=2}(e|e') = p_{\delta}(e_{a_j}|e_{a_{j-1}}) = \max_{\bar{e}} p(\bar{e}|e')p(e|\bar{e})$

Note: la maximisation est *a priori* à faire sur l'ensemble du vocabulaire cible ! (\rightarrow précalcul)

$\delta = 0$ (un mot cible est associé à deux ou plusieurs mots sources):

alors $p_{\delta=0}(e|e') = \begin{cases} 1 & \text{si } e = e' \\ 0 & \text{sinon} \end{cases}$

Le critère de recherche devient donc:

$$\hat{e}_1^I = \operatorname{argmax}_{I, e_1^I, a_1^J} \prod_{j=1}^J \left[p(a_j|a_{j-1}) p_{[a_j-a_{j-1}]}(e_{a_j}|e_{a_{j-1}}) p(f_j|e_{a_j}) \right]$$

Décodage Tillmann et al. [1997]

- En chaque position de l'axe vertical (cible), tout mot e est possible (*a priori*). Le choix d'un alignement monotone et d'un modèle de langue bigramme introduit une dépendance d'ordre 1 entre les différents points du treillis de recherche.
- Soit $Q(i, j, e)$ la probabilité du meilleur chemin arrivant au point (i, j, e) . Notre dépendance d'ordre 1 nous permet d'exprimer la récurrence:

$$Q(i, j, e) = p(f_j|e) \max_{\delta} p(i|i - \delta) \max_{e'} p_{\delta}(e|e') Q(i - \delta, j - 1, e')$$

- La traduction est alors donnée par $\max_{i,e} Q(i, J, e)$ en retournant un pointeur arrière (idem à viterbi).

Décodage Tillmann et al. [1997]

Input: $f_1 \dots f_j \dots f_J$

Initialisation du treillis de décodage

for all position source $j = 1, 2, \dots, J$ **do**

for all position cible $i = 1, 2, \dots, I_{max}$ **do**

for all mot cible e du vocabulaire **do**

$$Q(i, j, e) = \log p(f_j | e) + \max_{\delta, e'} \begin{cases} \log p(i | i - \delta) + \\ \log p_\delta(e | e') + \\ Q(i - \delta, j - 1, e') \end{cases}$$

Retour de la meilleure solution depuis: $\max_{i, e} Q(i, J, e)$

Output: $e_1 \dots e_i \dots e_{\hat{I}}$

Complexité: $J \times I_{max} \times |\mathcal{E}|^2$, où \mathcal{E} est la taille du vocabulaire cible considéré, I_{max} est la taille cible maximale considérée, et J la longueur de la phrase source.

Est-ce que ça marche ?

- Difficile de le dire... sans le coder !
- Quelques exemples (probablement choisis :-) où *O* indique la phrase source, *R* la traduction de référence et *A* la traduction automatique:

O Por favor, reservamos dos habitaciones dobles con cuarto de baño

R We booked two double rooms with a bathroom

A We booked two double rooms with a bathroom, please

O Quisiera que nos despertaran mañana a las dos y cuarto, por favor

R I would like you to wake up us tomorrow at a quarter past two, please

A I want you to wake up us up tomorrow at a quarter past two, please

O Repásemel la cuenta de la habitación ochocientos veintiuno

R Could you check the bill for room number eight two one for me, please ?

A Check the bill for room number eight two one.

Décodage Nießen et al. [1998]

- Même modèle, mais pas d'hypothèse de monotonie (plus long)
- Search inversé: on avance le long du texte cible en couvrant progressivement les positions sources.
- Choix: un mot cible e_i est aligné avec au plus l mots sources consécutifs (sorte de fertilité non modélisée).
- Le critère à optimiser devient alors (sous approximation maximale):

$$\operatorname{argmax}_I \left[p(J|I) \operatorname{argmax}_{e_1^I} \prod_{i=1}^I \left[p(e_i|e_{i-1}) \max_{j,l} \prod_{\bar{j}=j-l+1}^j p(i|\bar{j}, J, I) p(f_{\bar{j}}|e_i) \right] \right]$$

Décodage Nießen et al. [1998]

Soit $Q_I(c, i, j, e)$ la probabilité du meilleur chemin arrivant en position i dans e_1^I , en position j (dans f_1^J) et tel que ($e_i = e$) et c positions sources ont été couvertes.

Définissons cette quantité récursivement:

- **Cas simple:** le mot e_i n'a pas de correspondant dans le texte source (*skip*).

$$Q_I^S(c, i, j, e) = \max_{e'} \{p(e|e')Q_I(c, i - 1, j, e')\}$$

→ On recherche dans la table la meilleure façon d'arriver à (c, i, j, e) depuis une cellule précédente.

Décodage Nießen et al. [1998]

- **Cas général:** le mot e_i est associé à l mots sources ($l > 0$).

$$Q_I^N(c, i, j, e) = \max_{l>0} \left[\prod_{\bar{j}=j-l+1}^j \{ p(i|\bar{j}, J, I) \cdot p(f_{\bar{j}}|e_i) \} \right. \\ \max_{e'} \{ p(e|e') \cdot \\ \left. \max_{j'} [Q_I(c-l, i-1, j', e') \cdot v(c, l, j', j, e')] \} \right]$$

où $v(c, l, j', j, e')$ est un prédicat qui retourne 1 si les l positions de \bar{j} à f_j sont libres dans la chaîne source; 0 sinon.

- ↪ En gros, on cherche la meilleure fertilité, et la meilleure position source libre (via v).

Note: les choix l, j' et e' sont mémorisés pour pouvoir à la fin reconstruire la traduction “optimale”.

Décodage Nießen et al. [1998]

- Nous avons alors tous les ingrédients de notre récursion:

$$Q_I(c, i, j, e) = \max \{ Q_I^S(c, i, j, e), Q_I^N(c, i, j, e) \}$$

- et la traduction est donnée par:

$$\max_I \left\{ p(J|I) \cdot \max_{j,e} Q_I(J, I, j, e) \right\}$$

- Compléxité $\mathcal{O}(I_{max}^2 \cdot J^3 \cdot |\mathcal{E}|^2)$ où $|\mathcal{E}|$ est la taille du vocabulaire cible.
- Rappel: le décodeur de Tillmann et al. [1997] est en $\mathcal{O}(J \times I_{max} \times |\mathcal{E}|^2)$

Décodage Nießen et al. [1998]: algorithme simplifié

Input: $f_1 \dots f_j \dots f_J ; f_{max}$, fertilité maximale

Initialize $Space$; Select I_{max} ; Compute the active vocabulary

```

for all target position  $i = 1, 2, \dots, I_{max}$  do
    prune( $i - 1$ );
    for all alive hyp.  $h = Space(i, j, c, e)$  do
         $uv \leftarrow \text{History}(h);$ 
         $zones \leftarrow \text{FreeSrcPositions}(h);$ 
         $bestWords \leftarrow \text{NBestTgtWords}(uv);$ 
        for all  $w$  in  $bestWords$  do
             $prob \leftarrow \text{Score}(h) + \log p(w|uv);$ 
            setIfBetter( $i, j, c, b, prob, 0, j, v$ );
            for all free source position  $d$  do
                 $s \leftarrow prob;$ 
                for all  $f \in [1, f_{max}] / d + f - 1$  is free do
                     $s+ = \log a(i|d, J) + \log t(f_d|e_i);$ 
                    setIfBetter( $i, d, c + f, w, s, f, j, v$ );

```

Décodage Nießen et al. [1998]: algorithme

```

// recherche de la meilleure solution
 $max_s \leftarrow -\infty$ 
for all  $i \in [1, I_{max}]$  do
    for all alive hyp.  $h = Space(i, j, c, e)$  do
         $s \leftarrow Score(h) + p(J|i);$ 
        if  $((c == J) \text{ and } (s > max_s))$  then
             $max_s \leftarrow s$ 
             $\langle max_i, max_j, max_e \rangle \leftarrow \langle i, j, e \rangle$ 
// Backtrack si une hypothèse a survécu
if  $(max_s! = \infty)$  then
    Return  $Space(max_i, max_j, J, max_e);$ 
else
    Failure

```

Output: $e_1 \dots e_i \dots e_{max_i}$



Décodage Nießen et al. [1998]: légende

- Pour l'algorithme précédent:

$Space(i, j, c, e)$ contient les hypothèses qui alignent $e_i = e$ à f_j et qui couvrent c mots sources

$setIfBetter(i, j, c, e, p, f, bj, be)$ réalise l'opération de maximisation sur l'hypothèse $< i, j, c, e >$ si p est meilleur que le score précédent

$< b_j, b_e >$ information de retour-arrière (de quel mot f_{b_j} vient-on ?, quel est le mot b_e anglais précédent ?).

- Pour l'illustration qui suit:

- Une case de la table d'analyse représente toutes les hypothèses alignant la position cible i à la position source j . Un item
- $\langle e_i, c, s, j', e' \rangle \equiv$ le mot cible e_i posé à la position i , la couverture source c , le score s associé à l'hypothèse (ici -logprob); j' est la position source de retour, e' le mot duquel on vient.

Décodage Nießen et al. [1998]: exemple !

Source sentence: la loi anti-tabac

la → [the] [of] [to] [house] [in] [it] [on] [for] [a] [motion] ['s] [madam]
. . . (944)

loi → [bill] [act] [legislation] [law] [bills] [clause] [it] [.] [passed] [this]
[statute] [legislative]. . . (341)

anti-tabac → [anti-smoking] [non-smoking] [tobacco] [no-smoking] [anti-
tobacco] (5)

Calcul du vocabulaire actif (les mots cibles les plus pertinents selon $\text{argmax}_e p(f|e)p(e)$):

⇒ 's . a act **anti-smoking anti-tobacco** bill bills clause for house in it law
legislation legislative madam motion no-smoking non-smoking of on passed
statute **the** this to tobacco (28)

Décodage Nießen et al. [1998]: le premier mot

$\langle \text{anti-smoking}, 1, 151, 0, \text{bos} \rangle$		
$\langle \text{anti-tobacco}, 1, 281, 0, \text{bos} \rangle$		
:		
$\langle \text{legislation}, 1, 23, 0, \text{bos} \rangle$		
$\langle \text{the}, 1, 21, 0, \text{bos} \rangle$		
la	loi	anti-tabac

$$\log p(\text{anti-smoking}|BOS) + \log p(\text{la}|\text{anti-smoking}) + \log p(1|1, 3)$$

$$\log p(\text{anti-tobacco}|BOS) + \log p(\text{la}|\text{anti-tobacco}) + \log p(1|1, 3)$$

:

$$\log p(\text{legislation}|BOS) + \log p(\text{la}|\text{legislation}) + \log p(1|1, 3)$$

$$\log p(\text{the}|BOS) + \log p(\text{la}|\text{the}) + \log p(1|1, 3)$$

($BOS = \text{Begin Of Sentence}$)

Décodage Nießen et al. [1998]: fertilité n

$\langle\text{anti-smoking}, 1, 151, 0, \text{bos}\rangle$		
$\langle\text{anti-smoking}, 2, 281, 0, \text{bos}\rangle$		
:		
$\langle\text{the}, 1, 21, 0, \text{bos}\rangle$		
$\langle\text{the}, 2, 51, 0, \text{bos}\rangle$		
$\langle\text{the}, 3, 127, 0, \text{bos}\rangle$		
la	loi	anti-tabac

$$\log p(\text{the}|BOS) + \overbrace{\log p(\text{la}|\text{the}) + \log p(1|1, 3)}^a$$

$$\log p(\text{the}|BOS) + a + \overbrace{\log p(\text{loi}|\text{the}) + \log p(1|2, 3)}^b$$

$$\log p(\text{the}|BOS) + a + b + \log p(\text{anti-tabac}|\text{the}) + \log p(1|3, 3)$$

Décodage Nießen et al. [1998]: La première ligne

$\langle \text{anti-smoking}, 1, 151, 0, \text{bos} \rangle$ $\langle \text{anti-smoking}, 2, 281, 0, \text{bos} \rangle$ $\langle \text{anti-smoking}, 3, 286, 0, \text{bos} \rangle$ \vdots $\langle \text{anti-tobacco}, 1, 151, 0, \text{bos} \rangle$ $\langle \text{anti-tobacco}, 2, 281, 0, \text{bos} \rangle$ $\langle \text{anti-tobacco}, 3, 287, 0, \text{bos} \rangle$ $\langle \text{legislation}, 1, 23, 0, \text{bos} \rangle$ $\langle \text{legislation}, 2, 34, 0, \text{bos} \rangle$ $\langle \text{legislation}, 3, 154, 0, \text{bos} \rangle$ $\langle \text{the}, 1, 21, 0, \text{bos} \rangle$ $\langle \text{the}, 2, 51, 0, \text{bos} \rangle$ $\langle \text{the}, 3, 127, 0, \text{bos} \rangle$	$\langle \text{anti-smoking}, 1, 153, 0, \text{bos} \rangle$ $\langle \text{anti-smoking}, 2, 159, 0, \text{bos} \rangle$ $\langle \text{anti-tobacco}, 1, 154, 0, \text{bos} \rangle$ \vdots $\langle \text{anti-tobacco}, 2, 159, 0, \text{bos} \rangle$ $\langle \text{legislation}, 1, 17, 0, \text{bos} \rangle$ $\langle \text{legislation}, 2, 147, 0, \text{bos} \rangle$ $\langle \text{the}, 1, 18, 0, \text{bos} \rangle$ $\langle \text{the}, 2, 148, 0, \text{bos} \rangle$ $\langle \text{bill}, 1, 11, 0, \text{bos} \rangle$	$\langle \text{anti-smoking}, 1, 29, 0, \text{bos} \rangle$ $\langle \text{anti-tobacco}, 30, 1, 0, \text{bos} \rangle$ $\langle \text{legislation}, 1, 143, 0, \text{bos} \rangle$ \vdots $\langle \text{the}, 1, 133, 0, \text{bos} \rangle$ $\langle \text{no-smoking}, 1, 26, 0, \text{bos} \rangle$
la	loi	anti-tabac

$$\log p(\text{the}|BOS) + \log p(\text{anti-tabac}|\text{the}) + \log p(1|3, 3)$$

$$\log p(\text{legislation}|BOS) + \log p(\text{loi}|\text{legislation}) + \log p(1|2, 3)$$

Décodage Nießen et al. [1998]: Le deuxième mot

	$\langle \text{anti-smoking}, 2, 153, 1, \text{the} \rangle$ $\langle \text{anti-tobacco}, 2, 157, 1, \text{the} \rangle$ $\langle \text{legislation}, 2, 18, 1, \text{the} \rangle$	
$\langle \text{anti-smoking}, 1, 151, 0, \text{bos} \rangle$ $\langle \text{anti-smoking}, 2, 281, 0, \text{bos} \rangle$ $\langle \text{anti-smoking}, 3, 286, 0, \text{bos} \rangle$ $\langle \text{anti-tobacco}, 1, 151, 0, \text{bos} \rangle$ $\langle \text{anti-tobacco}, 2, 281, 0, \text{bos} \rangle$ $\langle \text{anti-tobacco}, 3, 287, 0, \text{bos} \rangle$ $\langle \text{legislation}, 1, 23, 0, \text{bos} \rangle$ $\langle \text{legislation}, 2, 34, 0, \text{bos} \rangle$ $\langle \text{legislation}, 3, 154, 0, \text{bos} \rangle$ $\langle \text{the}, 1, 21, 0, \text{bos} \rangle$ $\langle \text{the}, 2, 51, 0, \text{bos} \rangle$ $\langle \text{the}, 3, 127, 0, \text{bos} \rangle$. . .	$\langle \text{anti-smoking}, 1, 153, 0, \text{bos} \rangle$ $\langle \text{anti-smoking}, 2, 159, 0, \text{bos} \rangle$ $\langle \text{anti-tobacco}, 1, 154, 0, \text{bos} \rangle$ $\langle \text{anti-tobacco}, 2, 159, 0, \text{bos} \rangle$ $\langle \text{legislation}, 1, 17, 0, \text{bos} \rangle$ $\langle \text{legislation}, 2, 147, 0, \text{bos} \rangle$ $\langle \text{the}, 1, 18, 0, \text{bos} \rangle$ $\langle \text{the}, 2, 148, 0, \text{bos} \rangle$ $\langle \text{bill}, 1, 11, 0, \text{bos} \rangle$. . .	$\langle \text{anti-smoking}, 1, 29, 0, \text{bos} \rangle$ $\langle \text{anti-tobacco}, 30, 1, 0, \text{bos} \rangle$ $\langle \text{legislation}, 1, 143, 0, \text{bos} \rangle$ $\langle \text{the}, 1, 133, 0, \text{bos} \rangle$ $\langle \text{no-smoking}, 1, 26, 0, \text{bos} \rangle$. . .
la	loi	anti-tabac

$$\begin{aligned}
& 21 + \log p(\text{anti-smoking}|\text{the}, BOS) + \log p(\text{loi}|\text{anti-smoking}) + \log p(2|2, 3) \\
& \log p(\text{anti-tabac}|\text{the}, BOS) + \log p(\text{loi}|\text{anti-tabac}) + \log p(2|2, 3) \\
& \log p(\text{legislation}|\text{the}, BOS) + \log p(\text{loi}|\text{legislation}) + \log p(2|2, 3)
\end{aligned}$$

Décodage Nießen et al. [1998]: . . .

<code><anti-smoking, 2, 169, 2, the></code>	<code><anti-smoking, 2, 153, 1, the></code>	<code><anti-smoking, 2, 31, 1, the></code>
<code><anti-tobacco, 2, 173, 2, the></code>	<code><anti-tobacco, 2, 157, 1, the></code>	<code><anti-tobacco, 2, 33, 1, the></code>
<code><legisl., 2, 38, 2, anti-smo.></code>	<code><legislation, 2, 18, 1, the></code>	<code><legislation, 2, 143, 1, the></code>
<code><the, 2, 31, 2, legislation></code>	<code><the, 2, 49, 3, anti-smoking></code>	<code><the, 2, 147, 1, the></code>
<code><anti-smoking, 1, 151, 0, bos></code>	<code><anti-smoking, 1, 153, 0, bos></code>	<code><anti-smoking, 1, 29, 0, bos></code>
<code><anti-smoking, 2, 281, 0, bos></code>	<code><anti-smoking, 2, 159, 0, bos></code>	<code><anti-tobacco, 30, 1, 0, bos></code>
<code><anti-smoking, 3, 286, 0, bos></code>	<code><anti-tobacco, 1, 154, 0, bos></code>	<code><legislation, 1, 143, 0, bos></code>
<code><anti-tobacco, 1, 151, 0, bos></code>	<code><anti-tobacco, 2, 159, 0, bos></code>	<code><the, 1, 133, 0, bos></code>
<code><anti-tobacco, 2, 281, 0, bos></code>	<code><legislation, 1, 17, 0, bos></code>	<code><no-smoking, 1, 26, 0, bos></code>
<code><anti-tobacco, 3, 287, 0, bos></code>	<code><legislation, 2, 147, 0, bos></code>	
<code><legislation, 1, 23, 0, bos></code>	<code><the, 1, 18, 0, bos></code>	
<code><legislation, 2, 34, 0, bos></code>	<code><the, 2, 148, 0, bos></code>	
<code><legislation, 3, 154, 0, bos></code>	<code><bill, 1, 11, 0, bos></code>	
<code><the, 1, 21, 0, bos></code>		
<code><the, 2, 51, 0, bos></code>		
<code><the, 3, 127, 0, bos></code>		
la	loi	anti-tabac

$$\begin{aligned}
 & 29 + \log p(\text{the}|\text{anti-smoking}, BOS) + \log p(\text{loi}|\text{the}) + \log p(2|2, 3) \\
 & \log p(\text{legislation}|\text{anti-smoking}, BOS) + \log p(\text{la}|\text{legislation}) + \log p(2|1, 3)
 \end{aligned}$$

Décodage Nießen et al. [1998]: éventuellement . . .

...
⟨anti-smoking, 3, 287, 0, the⟩ ⟨anti-tobacco, 3, 291, 0, 's⟩ ⟨legis., 3, 40, 3, anti-smoking⟩ ⟨the, 3, 51, 3, anti-smoking⟩	⟨anti-smoking, 3, 163, 1, the⟩ ⟨anti-tobacco, 3, 168, 1, the⟩ ⟨legis., 3, 34, 3, anti-smoking⟩ ⟨the, 3, 48, 3, anti-smoking⟩	⟨anti-smoking, 3, 52, 1, legis.⟩ ⟨anti-tobacco, 3, 46, 2, legis.⟩ ⟨legislation, 3, 160, 2, legis.⟩ ⟨the, 3, 153, 2, legis.⟩
⟨anti-smoking, 2, 169, 2, the⟩ ⟨anti-tobacco, 2, 173, 2, the⟩ ⟨legisl., 2, 38, 2, anti-smo.⟩ ⟨the, 2, 31, 2, legislation⟩	⟨anti-smoking, 2, 153, 1, the⟩ ⟨anti-tobacco, 2, 157, 1, the⟩ ⟨legislation, 2, 18, 1, the⟩ ⟨the, 2, 49, 3, anti-smoking⟩	⟨anti-smoking, 2, 31, 1, the⟩ ⟨anti-tobacco, 2, 33, 1, the⟩ ⟨legislation, 2, 143, 1, the⟩ ⟨the, 2, 147, 1, the⟩
⟨anti-smoking, 1, 151, 0, bos⟩ ⟨anti-smoking, 2, 281, 0, bos⟩ ⟨anti-smoking, 3, 286, 0, bos⟩ ⟨anti-tobacco, 1, 151, 0, bos⟩ ⟨anti-tobacco, 2, 281, 0, bos⟩ ⟨anti-tobacco, 3, 287, 0, bos⟩ ⟨legislation, 1, 20, 0, bos⟩ ⟨legislation, 2, 24, 0, bos⟩ ⟨legislation, 3, 154, 0, bos⟩ ⟨the, 1, 21, 0, bos⟩ ⟨the, 2, 51, 0, bos⟩	⟨anti-smoking, 1, 153, 0, bos⟩ ⟨anti-smoking, 2, 159, 0, bos⟩ ⟨anti-tobacco, 1, 154, 0, bos⟩ ⟨anti-tobacco, 2, 159, 0, bos⟩ ⟨legislation, 1, 17, 0, bos⟩ ⟨legislation, 2, 147, 0, bos⟩ ⟨the, 1, 18, 0, bos⟩ ⟨the, 2, 148, 0, bos⟩ ⟨bill, 1, 11, 0, bos⟩	⟨anti-smoking, 1, 29, 0, bos⟩ ⟨anti-tobacco, 30, 1, 0, bos⟩ ⟨legislation, 1, 143, 0, bos⟩ ⟨the, 1, 133, 0, bos⟩ ⟨no-smoking, 1, 26, 0, bos⟩
la	loi	anti-tabac

$$31 + \log p(\text{lesgilation}|\text{anti-smoking, the}) + \log p(\text{loi}|\text{legislation}) + \log p(3|2, 3)$$

Nießen et al. [1998]: Maximise sur la longueur cible

...
<anti-smoking, 3, 287, 0, the> <anti-tobacco, 3, 291, 0, 's> <legis., 3, 40, 3, anti-smoking> <the, 3, 51, 3, anti-smoking>	<anti-smoking, 3, 163, 1, the> <anti-tobacco, 3, 168, 1, the> <legis., 3, 34, 3, anti-smoking> <the, 3, 48, 3, anti-smoking>	<anti-smoking, 3, 52, 1, legis.> <anti-tobacco, 3, 46, 2, legis.> <legislation, 3, 160, 2, legis.> <the, 3, 153, 2, legis.>
<anti-smoking, 2, 169, 2, the> <anti-tobacco, 2, 173, 2, the> <legislation, 2, 38, 2, the> <the, 2, 31, 2, legislation>	<anti-smoking, 2, 153, 1, the> <anti-tobacco, 2, 157, 1, the> <legislation, 2, 18, 1, the> <the, 2, 49, 3, anti-smoking>	<anti-smoking, 2, 31, 1, the> <anti-tobacco, 2, 33, 1, the> <legislation, 2, 143, 1, the> <the, 2, 147, 1, the>
<anti-smoking, 1, 151, 0, bos> <anti-smoking, 2, 281, 0, bos> <anti-smoking, 3, 286, 0, bos> <anti-tobacco, 1, 151, 0, bos> <anti-tobacco, 2, 281, 0, bos> <anti-tobacco, 3, 287, 0, bos> <legislation, 1, 20, 0, bos> <legislation, 2, 24, 0, bos> <legislation, 3, 154, 0, bos> <the, 1, 21, 0, bos> <the, 2, 51, 0, bos> <the, 3, 127, 0, bos>	<anti-smoking, 1, 153, 0, bos> <anti-smoking, 2, 159, 0, bos> <anti-tobacco, 1, 154, 0, bos> <anti-tobacco, 2, 159, 0, bos> <legislation, 1, 17, 0, bos> <legislation, 2, 147, 0, bos> <the, 1, 18, 0, bos> <the, 2, 148, 0, bos> <bill, 1, 11, 0, bos>	<anti-smoking, 1, 29, 0, bos> <anti-tobacco, 30, 1, 0, bos> <legislation, 1, 143, 0, bos> <the, 1, 133, 0, bos> <no-smoking, 1, 26, 0, bos>
la	loi	anti-tabac

Nießen et al. [1998]:

length 1 it
length 2 the anti-smoking
length 3 the anti-smoking legislation
length 4 the anti-smoking legislation .
length 5 the anti-smoking legislation in the

DP et beam search

recherche en faisceau: **beam search** = DP + filtrage:

beam pruning: garder pour tout nœud n du treillis de recherche toutes hypothèses H telles que $\frac{p(H)}{p(H_{max})} \geq \beta$;

où β détermine la largeur du faisceau (beam) et H_{max} est l'hypothèse de probabilité maximale (trouvée)

↪ $\beta = 1$ on ne garde que les hypothèses de score maximal,

↪ $\beta = 0.5$ on garde toutes les hypothèses dont la probabilité est au moins la moitié de $p(H_{max})$. etc.

histogram pruning on garde les n -meilleures hypothèses de tout nœud

Pro et cons de la recherche DP

- Récursion spécifique à un jeu de modèles
- Permet assez facilement de générer des **n-best** (on garde un retour arrière sur toutes les hypothèses qui amènent à un maximum). Voir à ce sujet Ueffing et al. [2002].
idée populaire en RAP: générer un n-best à l'aide d'un modèle simple (rapide à calculer), puis renoter les n-meilleures hypothèses à l'aide d'un modèle plus complexe (c'est ce qu'on appelle le rescore)
- Voir Garcíá and Casacuberta [2001], Ueffing et al. [2002] pour des implémentations DP des modèles IBM3 et/ou 4.

Extrait d'un n-best: house of common debates

$\log p(f e)$	$\log lg(f)$	traduction
-22.6132	-2.33009	chambre des communes débats
-24.6132	-2.33009	travaux de la chambre
-27.4214	-2.694	travaux de la chambre .
-27.5228	-2.694	travaux de la chambre des
-27.6009	-3.10813	travaux de la chambre des communes
-28.9184	-2.33009	travaux de la séance
-29.5336	-4.0121	travaux de la chambre des communes .
-29.6181	-2.33009	travaux de la motion
-29.737	-2.694	travaux de la chambre de
-30.4074	-2.694	les travaux de la chambre
-31.3376	-2.33009	travaux de la chambre
-31.9783	-2.32975	travaux de la
...

Exemples de 5-best hansardiens

le canada est un acteur actif et dynamique sur la scène de l' économie mondiale .

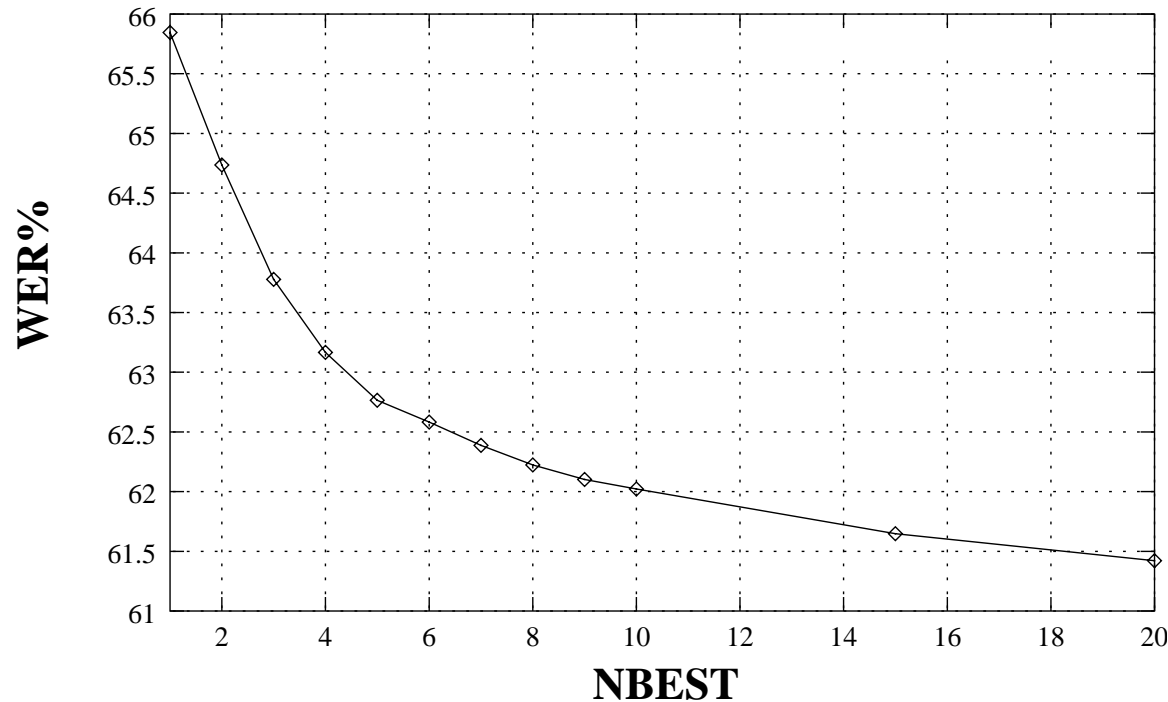
- 171.58 the country is an active and dynamic on the scene of the world economy .
- 177.954 the country is an active and dynamic on the scene of the world economy . .
- 180.073 the country is an active and dynamic on the scene of the world economy of canada
- 181.302 the country is an active and dynamic and internationally on the economy world .
- 182.17 the country is an active and dynamic on the scene of the world 's economy

il y a même eu des peines d' incarcération .

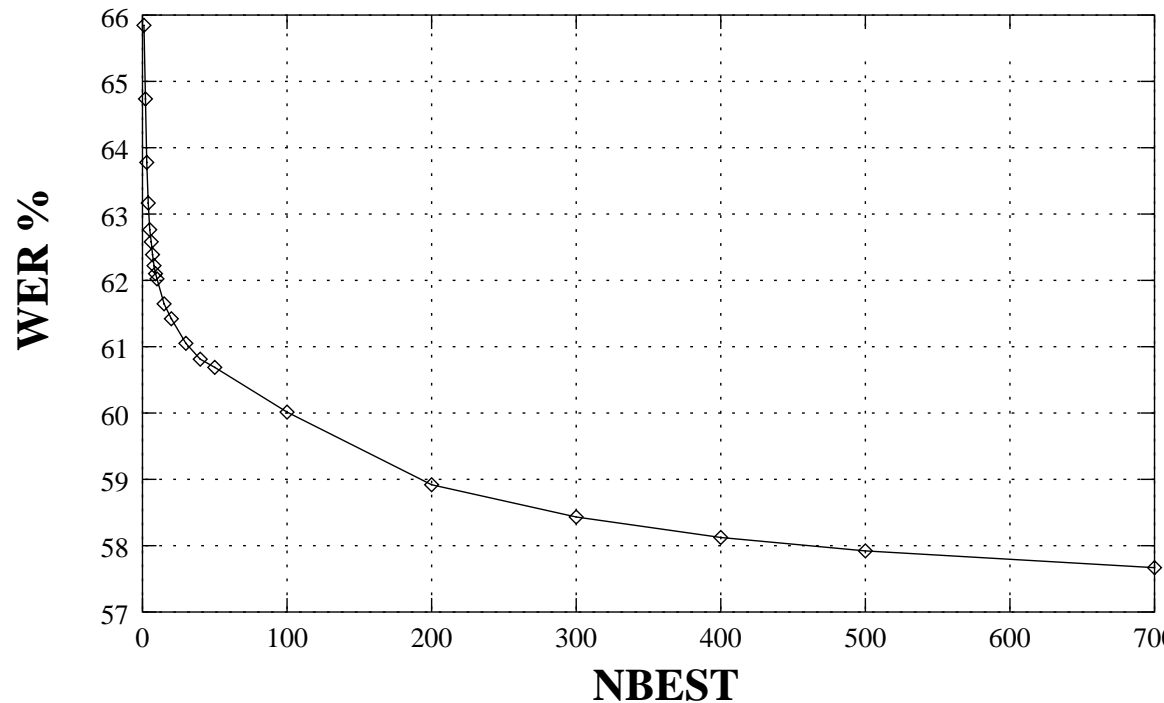
- 106.895 there has been the same penalties and fines and imprisonment .
- 108.596 there has been the same penalties as an incarceration .
- 110.014 there has been the same penalties for incarceration .
- 112.351 there has been the same penalties incarceration .
- 115.546 there has been in the same penalties and fines and imprisonment .



Impact d'un n-best: WER vs. N-best



Impact d'un n-best: WER vs. N-best



Algorithme vorace (greedy)

Idée: on part d'une hypothèse (simple à obtenir) que l'on essaye d'améliorer à l'aide d'opérations élémentaires Marcu and Germann [2000], Germann et al. [2001]. Ex. fourni par les auteurs:

NULL₀ well₁ heard₂ ,₃ it₄ talking₅ a₆ beautiful₇ victory₈ .₉
bien₍₁₎ entendu₍₂₎ ,(3) il₍₄₎ parle₍₅₎ de₍₀₎ une₍₆₎ belle₍₇₎ victoire₍₈₎ .(9)

NULL₀ well₁ heard₂ ,₃ it₄ talks₅ a₆ great₇ victory₈ .₉
bien₍₁₎ entendu₍₂₎ ,(3) il₍₄₎ parle₍₅₎ de₍₀₎ une₍₆₎ belle₍₇₎ victoire₍₈₎ .(9)

NULL₀ well₁ understood₂ ,₃ it₄ talks₅ about₆ a₇ great₈ victory₉ .₁₀
bien₍₁₎ entendu₍₂₎ ,(3) il₍₄₎ parle₍₅₎ de₍₆₎ une₍₇₎ belle₍₈₎ victoire₍₉₎ .(10)

NULL₀ well₁ understood₂ ,₃ he₄ talks₅ about₆ a₇ great₈ victory₉ .₁₀
bien₍₁₎ entendu₍₂₎ ,(3) il₍₄₎ parle₍₅₎ de₍₆₎ une₍₇₎ belle₍₈₎ victoire₍₉₎ .(10)

NULL₀ quite₁ naturally₂ ,₃ he₄ talks₅ about₆ a₇ great₈ victory₉ .₁₀
bien₍₁₎ entendu₍₂₎ ,(3) il₍₄₎ parle₍₅₎ de₍₆₎ une₍₇₎ belle₍₈₎ victoire₍₉₎ .(10)

Algorithme greedy

Avantage (table prise dans Germann et al. [2001])

Décodage avec un modèle IBM4 et un trigramme:

$ sent $	sec./sent		erreurs	
	stack	greedy	stack	greedy
6	13.72	1.58	42	46
8	45.45	2.75	59	68
10	105.15	3.83	57	63
15	>2000	12.06	74	75
20	—	49.23	86	93
505 phrases (101 de chaque longueur)				

Algorithme A^* (d'après Jelinek [1998])

- Nous cherchons le chemin w_1^n qui maximise un critère, cad une fonction g définie pour tout chemin et toute longueur $k = 1, 2, \dots, n$.
- Soit une fonction $F(w_1^k) = g(w_1^k) + d(w_1^k)$ où d est une fonction telle que:

$$d(w_1^n) = 0$$

$$d(w_1^k) \geq \underbrace{\frac{g(w_1^k || z_{k+1}^n) - g(w_1^k)}{\text{score total}}}_{\text{score partiel}} \quad \forall z_{k+1}^n$$

mesure optimiste d'une compléTION de $k+1$ à n

où $a||b$ désigne la séquence formée par la concaténation des deux séquences a et b .

Algorithme A^*

De ce qui précède, si $F(w_1^n) \geq F(\tilde{w}_1^k)$, alors $g(w_1^n) \geq g(\tilde{w}_1^k || z_{k+1}^n)$ pour toute séquence z_{k+1}^n .

En clair, si $F(w_1^n) \geq F(\tilde{w}_1^k)$, il est inutile de considérer les complétions de \tilde{w}_1^k car elle mèneront à des chemins moins bien notés par g .

C'est l'idée exploitée dans l'algorithme A^* (stack-decoder) qui repose sur une structure de donnée de type *file de priorité* \mathcal{S} :

1. Mettre dans \mathcal{S} les hypothèses singletons w_i (constituées d'un seul mot) avec leur score associé $F(w_i)$.
2. Prendre l'entrée au sommet de \mathcal{S} (c'est l'hypothèse actuelle la plus prometteuse selon F). Soit w_1^k cette hypothèse.
Si $k = n$ alors nous avons la meilleure solution (selon g) et son score est $g(w_1^n)$
Sinon, placer dans \mathcal{S} toutes les extensions $w_1^k || v$ d'un mot v .
3. Aller en 2.

Algorithme A^*

Note: file de priorité = “pile” qui contient en son sommet l’élément de plus haut score.

- Dans l'algorithme A^* que nous venons de voir, la pile (ou file de priorité) contient *toutes* les hypothèses à développer. Les hypothèses les plus prometteuses sont développées en premier.
- **Pré-requis:** définir une fonction auxiliaire “optimiste” d , cad une fonction qui surestime toujours le score d'une complétion. On parle habituellement de fonction heuristique.
→ Le choix de cette fonction heuristique a un impact important sur les performances de l'algorithme (pas “optimiste” → la solution n'est pas nécessairement optimale; trop “optimiste”, l'algorithme est ralenti.)
- **Note:** nécessite que la fonction que l'on souhaite maximiser soit cumulative

*A** et traduction: Wang and Waibel [1997] pour IBM 2

- $f = f_1^J$ donné, on cherche:

$$\hat{e} = \hat{e}_1^{\hat{I}} = \underset{I, e_1^I}{\operatorname{argmax}} p(e_1^I) \epsilon \prod_{j=1}^J \sum_{i=0}^I t(f_j | e_i) a(i | j, l, m)$$

- **Note:** dans la suite nous appelons e la phrase source (c'est la phrase qui rentre dans le canal) et f la phrase cible (c'est la phrase qui en ressort).
- Une hypothèse H est notée: $I : e_1 e_2 \dots e_k$ et signifie que la traduction aura I mots et que l'on connaît déjà les k premiers.
- À chaque hypothèse H est associée un score f_H constitué de deux parties: le score (exact) g_H du préfixe $e_1 e_2 \dots e_k$ et le score heuristique (optimiste) h_H du suffixe $e_{k+1} \dots e_I$ à déterminer.

*A** et traduction: Wang and Waibel [1997]

Score du préfixe

- Soit $S_H(j)$ la contribution des k premiers mots sources à la masse de probabilité du mot cible f_j :

$$S_H(j) = \epsilon \sum_{i=0}^k t(f_j | e_i) a(i | j, I, J)$$

→ Étendre H d'un mot augmentera donc $S_H(j)$, pour tout $j \in [1, J]$.

- Pour l'ensemble des mots cibles, la contribution du modèle de traduction du préfixe est donc $\prod_{j=1}^J S_H(j)$, soit en logarithme: $\sum_{j=1}^J \log S_H(j)$.
- S'ajoute la contribution du modèle de langue (n-gram d'ordre N):

$$g_H = \underbrace{\sum_{j=1}^J \log S_H(j)}_{\text{traduction}} + \underbrace{\sum_{i=1}^k \log p(e_i | e_{i-N+1}^{i-1})}_{\text{langue}}$$

A^* et traduction: Wang and Waibel [1997]

Score du préfixe

On peut calculer g_H à partir du score d'une hypothèse parente: $P = I : e_1 e_2 \dots e_{k-1}$:

$$\begin{aligned}
 g_H &= \sum_{j=1}^J \log \left[\epsilon \sum_{i=0}^{k-1} t(f_j | e_i) a(i | j, I, L) + \epsilon t(f_j | e_k) a(k | j, I, J) \right] + \\
 &\quad \sum_{i=1}^{k-1} \log p(e_i | e_{i-N+1}^{i-1}) + \log p(e_k | e_{k-N+1}^{k-1}) \\
 &= \sum_{j=1}^J \log [S_P(j) + \epsilon t(f_j | e_k) a(k | j, I, J)] + \\
 &\quad \sum_{i=1}^{k-1} \log p(e_i | e_{i-N+1}^{i-1}) + \log p(e_k | e_{k-N+1}^{k-1}) \\
 &= \sum_{j=1}^J \log \left[S_P(j) \left(1 + \frac{\epsilon t(f_j | e_k) a(k | j, I, J)}{S_P(j)} \right) \right] + \\
 &\quad \sum_{i=1}^{k-1} \log p(e_i | e_{i-N+1}^{i-1}) + \log p(e_k | e_{k-N+1}^{k-1}) \\
 &= g_P + \log p(e_k | e_{k-N+1}^{k-1}) + \sum_{j=1}^J \log \left[1 + \frac{\epsilon t(f_j | e_k) a(k | j, I, J)}{S_P(j)} \right]
 \end{aligned}$$

*A** et traduction: Wang and Waibel [1997]

Score du suffixe: Contribution du modèle de langue:

- soit PP_{train} est la perplexité du modèle de langue obtenue sur le **corpus d'entraînement**:

$$h_H^{LM} = -(I - k)PP_{train} + C$$

↪ l'idée derrière ce score est que la perplexité sur-estime la vraisemblance d'un nouveau segment (en moyenne).

- C'est d'autant plus vrai que I est grand devant k . Lorsqu'il reste peu de mots à étendre C prend de l'importance et sert à ne pas sous-estimer la compléction:

$$C = PP_{train} + \log(P_{max})$$

où P_{max} est la probabilité maximale attribuée à un n -gramme dans le modèle.

*A** et traduction: Wang and Waibel [1997]

Score du suffixe: Contribution du modèle de traduction:

- Soit $v_{iI}(j)$ la contribution maximale d'un mot source à la masse de probabilité associée à f_j , le mot source étant entre les positions i et I incluses (L_E est le lexique source):

$$v_{iI}(j) = \max_{k \in [i, I], e_k \in L_E} t(f_j | e_k) a(k | j, I, M)$$

- La contribution du modèle de traduction est alors:

$$h_H^{TM} = \sum_{j=1}^J \max\{0, \log v_{(k+1)I}(j) - \log S_H(j)\}$$

→ c'est l'amélioration maximale qu'un mot source ajouté peut apporter à la vraisemblance d'un mot f_j .

Le score heuristique final est donné par: $h_H = h_H^{LM} + h_H^{TM}$ (pour $k < I$, 0 sinon)

***A** et traduction: détails pratiques**

mémoire : en général, on ne peut pas maintenir dans une pile toutes les hypothèses à développer. On se retraint aux meilleures d'entre-elles.

plus de garantie d'optimalité

problème intrinsèque à A^{*} : saturation de la pile avec des hypothèses proches

on maintient plusieurs piles (multi-stack search)

Lire Och et al. [2001], Garcíá and Casacuberta [2001] pour des variantes DP *beam search* applicables aux modèles IBM3 et IBM4.

Quelques exemples pouvant aider à apprécier la situation

SRCE j' ai parlé plus tôt du déséquilibre financier .

IBM4 i have talked about more than ever before for the fiscal imbalance .

IBM2 i mentioned earlier , the fiscal imbalance .

SRCE nous devons revenir sur la question de la péréquation au canada .

IBM4 we must go back to the question of the equalization in canada .

IBM2 we must address the issue of the equalization of canada .

SRCE la péréquation constitue un programme social très important .

IBM4 the equalization is a social program is very important .

IBM2 on equalization program is extremely important social

SRCE ce n' est pas le comité qui n' en a pas tenu compte .

IBM4 this is the committee that has to be held to account .

IBM2 this is not the committee , which has been ignored .

SRCE nous avons mis fin à une période de 28 ans de déficit .

IBM4 we have to put an end to a period of 28 years of deficit .

IBM2 we have developed an end of seven years \$ 28 billion .

Références

ACL-35. *Proceedings of the 35th Annual Meeting of the Association for Computational Linguistics (ACL)*, Madrid, Spain, July 1997.

Ismael Garcíá and Francisco Casacuberta. Search algorithms for statistical machine translation based on dynamic programming and pruning techniques. In *Proceedings of the 8th Machine Translation Summit*, pages 115–120, Santiago de Compostela, Galicia, Spain, September 2001.

Ulrich Germann, Micheal Jahr, Kevin Knight, Daniel Marcu, and Kenji Yamada. Fast decoding and optimal decoding for machine translation. In *Proceedings of the 39th Annual Meeting of the Association for Computational Linguistics (ACL)*, pages 228–235, Toulouse, France, July 2001.

Frederick Jelinek. *Statistical Methods for Speech Recognition*. The MIT Press, Cambridge, Massachusetts, 1998.

Kevin Knight. Decoding complexity in word-replacement translation models. *Computational*

Linguistics, 25(4), 1999.

Daniel Marcu and Ulrich Germann. The isi rewrite decoder release 0.7.0b. <http://www.isi.edu/~germann/software/ReWrite-Decoder/index.html>, 2000.

S. Nießen, S. Vogel, H. Ney, and C. Tillmann. A dp based search algorithm for statistical machine translation. In *Proceedings of the 36th Annual Meeting of the Association for Computational Linguistics (ACL) and 17th International Conference on Computational Linguistics (COLING) 1998*, pages 960–966, Montréal, Canada, August 1998.

Franz Josef Och, Nicola Ueffing, and Hermann Ney. An efficient a* search algorithm for statistical machine translation. In *Proceedings of the Workshop on Data Driven Machine Translation yielded at the 39th Annual Meeting of the ACL*, pages 55–62, Toulouse, France, July 2001.

C. Tillmann, S. Vogel, H. Ney, and A. Zubiaga. A dp-based search using monotone alignments in statistical translation. In *ACL-35 ACL-35*, pages 289–296.

Nicola Ueffing, Franz Joseph Och, and Hermann Ney. Generation of word graphs in statistical machine translation. In *Proceedings of the 7th Conference on Empirical Methods*

in Natural Language Processing (EMNLP), pages 156–163, Philadelphia, PA, USA, 2002.

Ye-Yi Wang and Alex Waibel. Decoding algorithm in statistical machine translation. In ACL-35 ACL-35, pages 366–372.